

07; 12

© 1991 г.

**ЭЛЕКТРО- И СВЕТОУПРАВЛЯЕМЫЕ МОДУЛЯТОРЫ  
НА ОСНОВЕ ДИСПЕРГИРОВАННЫХ НЕМАТИЧЕСКИХ ЖИДКИХ  
КРИСТАЛЛОВ<sup>1)</sup>**

*Н. А. Василенко, М. А. Грознов, В. М. Мокшин, В. С. Мыльников,  
С. С. Тополь, В. А. Трухтанов, В. В. Швец, Л. Н. Сомс*

Исследованы спектральные и контрастно-временные характеристики электрически управляемых пленок (содержащих диспергированные в полимерную матрицу микрокапли нематического жидкого кристалла) в зависимости от концентрации жидкого кристалла, молекулярной массы полимера, напряжения и частоты питания. Пленки обладают временем включения 0.4 мс и включения 20 мс, контрастом 400 : 1, напряжением порогового срабатывания 5 В и выхода на максимум просветления 85 В. На их основе созданы светоуправляемые модуляторы типа фотопроводящий органический полимер—инкапсулированный нематик, которые имеют чувствительность  $5 \cdot 10^{-5}$  Дж/см<sup>2</sup>, контраст 35 : 1, время включения 80 мс, реверсивность 10 Гц, напряжение питания 50—250 В.

### Введение

Тонкие пленки, содержащие диспергированные в полимерную матрицу микрокапли жидкого кристалла [<sup>1-6</sup>], являются перспективными для использования их в различных электрооптических устройствах. В таких пленках показатель преломления обыкновенной волны  $n_0$  жидкого кристалла (ЖК) близок к показателю преломления  $n_p$  полимера. Поскольку эффективное значение показателя преломления  $n_s$  микрокапель не совпадает с  $n_p$  из-за неоднородного распределения (преимущественно планарного) директора на границе ЖК—полимер и размер микрокапель (1—5 мкм) мал по сравнению с толщиной пленки (20—50 мкм), то падающий свет будет претерпевать многократное отражение и, таким образом, сильно рассеиваться. В непросветленном состоянии пленки имеют «молочный» внешний вид. Под действием электрического поля директоры молекул в микрокаплях переориентируются вдоль направления приложенного поля (анизотропия диэлектрической проницаемости жидкого кристалла  $\epsilon > 0$ ), поэтому  $n_s$  приблизится к  $n_0$  и пленка окажется прозрачной. Снятие напряжения приводит пленку в исходное «молочное» состояние.

Целью работы было исследование контрастно-временных характеристик электро- и светоуправляемых модуляторов на основе диспергированных (ДП) в полимер нематических жидких кристаллов (НЖК).

### Методика эксперимента

В качестве объектов исследования были выбраны НЖК 1282, 1383, 1289 (ТУ № 6-14-19-40.518.-87 по номенклатуре фирмы-изготовителя НИОПиК). В приводимых ниже результатах работы во всех случаях, кроме особо оговоренных, использовался НЖК 1282.

Полимерная матрица под эти НЖК представляла собой поливиниловый спирт (ПВС), поскольку показатели преломления у них были близки ( $n_p \approx 1.54$ ,  $n_0 \approx 1.47-1.5$ ) и при этом получается эмульсия, в которой не растворялся

НЖК. Для приготовления пленки брался 10%-ный водный раствор ПВС, в который добавлялся в различном процентном соотношении жидкий кристалл. Полученная смесь тщательно перемешивалась, выдерживалась для удаления газов и наносилась с помощью аппликатора на стеклянную поверхность оптического качества. Затем образец сушился (при 40 °C) до полного испарения растворителя (воды) и снимался со стекла. Толщины пленок составляли  $d=20-50$  мкм. Исследуемые образцы ДП НЖК помещались между двумя прозрачными подложками с нанесенными на них прозрачными проводящими электродами из  $In_2O_3$  и  $SnO_2$ .

Образцы ДП НЖК ячеек создавались на основе двух типов подложек — стекло (типа К-8) и  $BaF_2$  соответственно для исследований в видимом и инфракрасном диапазонах спектра. Для оптического контакта между пленкой и подложками заливался одноименный НЖК или силиконовое масло (типа ПМФС-4). Измерения электрооптических характеристик ячеек проводились при постоянном, синусоидальном и импульсном (длительность импульса  $t=1$  мс) напряжениях  $U$  питания. Максимальные значения  $U$  не превосходили 400—600 В, что исключало возможность пробоя пленки. Для считывания использовалось излучение Не—Не лазера с  $\lambda=0.63$  мкм.

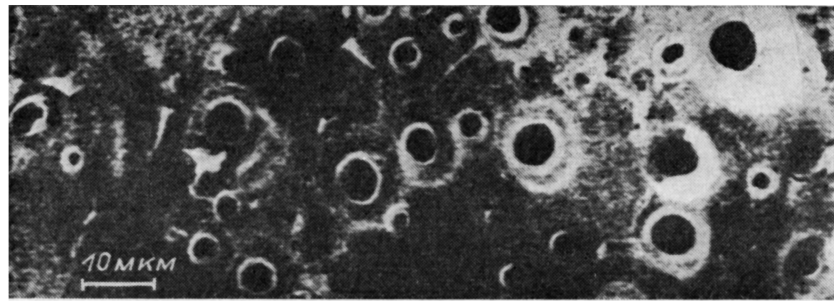


Рис. 1. Капли жидкого кристалла в полимерной матрице.

В [7] показана возможность получения светоуправляемых пространственно-временных модуляторов света (ПВМС) типа  $ZnSe$ —ДП НЖК. В то же время в [8, 9] были созданы высокоэффективные модуляторы типа фотопроводящий органический полимер (полиимид)—жидкий кристалл (ФОП—ЖК). Представлялось весьма интересным объединить ФОП и ДП НЖК с целью получения на их основе светоуправляемых ПВМС. Запись на ФОП—ДП НЖК модулятор осуществлялась на  $\lambda=0.53$  мкм (2-я гармоника импульсного лазера на АИГ:  $Nd^{3+}$ ), а считывание на просвет на  $\lambda=0.63$  мкм (Не—Не лазер) осуществлялось приемником излучения ФЭУ-51 с входной апертурой 6 мм.

### Экспериментальные исследования

Результаты исследования пленки ДП НЖК с помощью электронного микроскопа представлены на рис. 1. Основные черты следующие: относительно разномерное распределение микрокапель НЖК, форма капель близка к сферической, средний диаметр порядка 3—5 мкм, общий разброс 1—10 мкм, капли не сливаются одна с другой, имеются отдельные сростки и изменения формы микрокапель. Во всех образцах ДП НЖК пленок на микрокапели с размером  $4 \pm 1$  мкм приходилось  $> 80\%$  от веса всего НЖК.

Спектральные характеристики ДП НЖК исследовались на спектрофотометре Perkin—Elmer-580 как в диапазоне длин волн  $\lambda=350-850$  нм, так и до  $\lambda=15$  мкм. Спектры пропускания ячейки  $T$  (концентрация НЖК по отношению к весу ПВС, принимаемого за 100 %, составляла 110 вес. %) при разных значениях синусоидального напряжения питания приведены на рис. 2. Следует отметить, что пропускание ячейки выходит на плато ( $\sim 75\%$ ) при  $\lambda \geqslant 0.8$  мкм

(подложки из К-8). Пропускание ячеек для  $\lambda=1-12$  мкм (подложки из  $\text{Ba}_2\text{F}$ ) оставалось практически неизменным ( $\sim 70\%$ ) во всем диапазоне этих длин волн.

Типичные вольт-контрастные характеристики ДП НЖК ячеек (с концентрацией НЖК 60 вес. %) приведены на рис. 3. За величину контраста  $K$  принимается

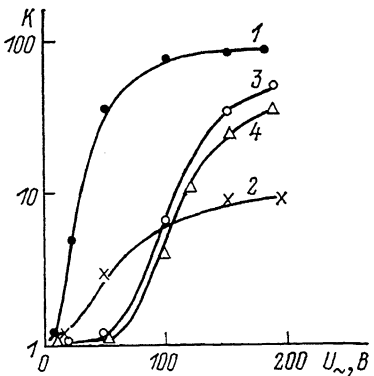
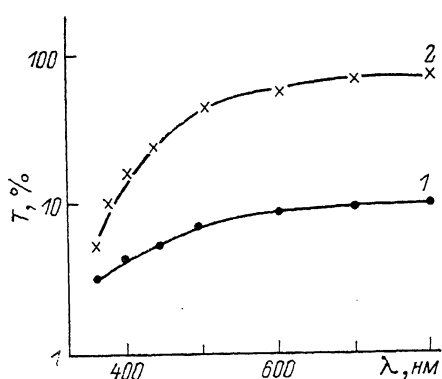


Рис. 2. Спектры пропускания ячеек ДП НЖК.

$U=0$  (1), 150 В (2); ЖК 1282, молекулярная масса ПВС  $M=10^6$ ,  $d=35$  мкм.

Рис. 3. Зависимость контраста  $K$  от величины синусоидального напряжения питания  $U$ .  
 $M: 1-3 - 10^6, 4 - 3 \cdot 10^4; d, \text{мкм}: 1, 3 - 25; 2 - 45, 4 - 35; 3, 4 - \text{глицерина нет}.$

лось отношение конечного и начального (при  $U=0$ ) пропускания  $T$  исследуемым образцом прямого лазерного излучения. Контрасты ячеек (по критерию от 10 до 90 % максимального  $K_{\max}$ ) для видимой области спектра достигались соответственно при  $U=90$  и 160 В или  $U=15$  и 80 В в зависимости от марки

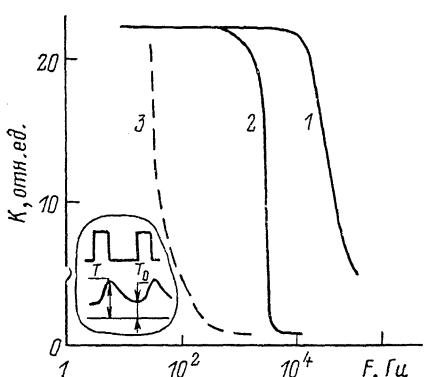
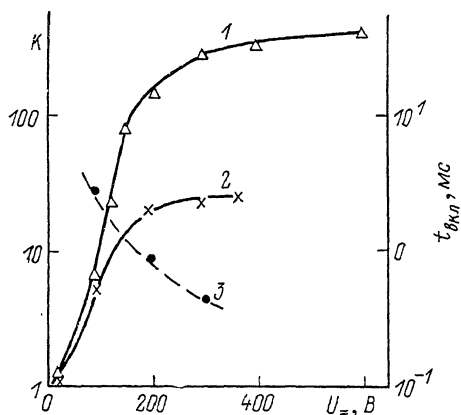


Рис. 4. Зависимость контраста  $K$  и времени включения питания  $t_{\text{вкл}}$  от постоянного напряжения питания  $U$  при  $M=10^6$ .

$d, \text{мкм}: 1, 3 - 35; 2 - 45; \text{НЖК, вес. \%}: 1, 3 - 60, 2 - 110.$

Рис. 5. Зависимость контраста  $K$  от частоты  $F$  напряжения питания или жидкокристаллической смазки.

Сплошные кривые —  $K$  считается по отношению к начальному пропусканию ячейки (при  $U=0$ ), штриховая — по отношению к пропусканию между импульсами питания.

ПВС и наличия пластификатора. Незначительная добавка в процессе изготовления ДП НЖК пленки пластификатора (глицерин 10 вес. %) позволяет существенно снизить порог срабатывания пленок для 10%-ного пропускания — с 100—110 до 15—20 В, для 90%-го пропускания — с 160—170 до 80—90 В.

Уменьшение молекулярной массы ПВС приводит к повышению в несколько раз контраста (кривые 3 и 4 почти совпадают, хотя толщины пленок различаются только в полтора раза).

На рис. 4 приведены зависимости  $K$  и  $t_{\text{вкл}}$  (по критерию  $0-0.9 K_{\text{max}}$ ) пленки от величины постоянного напряжения питания при использовании силиконового масла в качестве смачивающей жидкости на границе ДП НЖК пленка—электрод. Уменьшение концентрации НЖК в пленке с 110 до 60 вес. % привело к росту  $K$  более чем на порядок (при сравнительно близких толщинах пленок). Минимальные  $t_{\text{вкл}}$  (по критерию  $0-0.9 K_{\text{max}}$ ) составляли 400 мкс.

Основный интерес представляет разный ход частотно-контрастных характеристик ячеек при синусоидальном и импульсном ( $\tau=1$  мс) питании (рис. 5) ( $M=10^5$ , НЖК 60 вес. %,  $U=150$  В,  $d=35$  мкм). Характерный завал зависимости  $K$  от  $F$  ( $K$  считается по отношению к начальному пропусканию ячейки  $T=T(U=0)$ ) составляет для синусоидального питания  $10^4$  Гц (кривая 1) и для импульсного —  $10^3$  Гц (кривая 2). Кривая 3 представляет собой зависимость  $K=T/T_0$  ( $K$  считается по отношению к пропусканию ячейки между импульсами питания 1 мс). При заливке в качестве смачивающей жидкости силиконового масла вместо ЖК 1282 завал  $K=F$  (когда  $K$  считается по отношению к пропусканию ячейки между импульсами) происходил при 60 Гц, а абсолютные значения контраста были почти в 2 раза меньше. При импульсном питании кривая релаксации ячейки представляла собой 2 участка: участок быстрого спада ( $K$  уменьшается в 2–3 раза) и участок медленного (вплоть до полного восстановления начального пропускания пленки). Минимальные времена  $t_{\text{выкл}}$  выключения ячеек (по критерию  $1.0-0.1$  от  $K_{\text{max}}$ ) при импульсном питании составляют  $> 20$  мс.

В результате работы были получены образцы ячеек ДП НЖК, имеющие контраст в прямом лазерном луче до  $400:1$ , время включения  $> 400$  мкс, время выключения  $\geq 20$  мс, величина напряжения горячего срабатывания  $\geq 15$  В и выхода на максимум просветления  $\geq 85$  В.

На основе этих образцов был создан ФОП—ДП НЖК модулятор, толщины слоев которого составили 2 и 30 мкм соответственно. В качестве смачивающей жидкости использовалось силиконовое масло. ФОП—ДП НЖК модулятор при наносекундной записи на  $\lambda=0.53$  мкм экспозицией до  $5 \cdot 10^{-5}$  Дж/см<sup>2</sup> позволяет реализовывать контраст  $35:1$ , время включения 400 мкс и время выключения 80 мс, реверсивность 10 Гц (рис. 6).

### Обсуждение результатов

Относительная равномерность распределения и однородность форм микрокапель жидкого кристалла в полимерной пленке на рис. 1 свидетельствует о правильности выбранной технологии изготовления ДП НЖК с введенным в нее пластификатором (глицерином).

Впервые полученные спектральные характеристики пленки рис. 2 раскрывают возможности использования ее в оптических устройствах, работающих в средней и дальней ИК областях. Для сравнения следует отметить, что жидкие кристаллы имеют полосы поглощения в этих областях, поэтому использовать обычные ЖК ячейки для работы в широком диапазоне  $\lambda=2-15$  мкм не представляется возможным [10]. Основная причина установленного различия заключается в том, что для обычных ЖК ячеек ИК излучение вынуждено про-

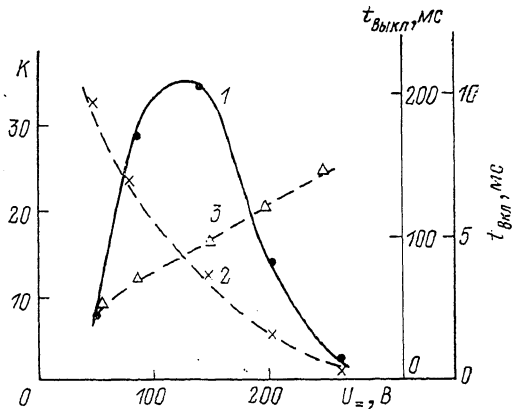
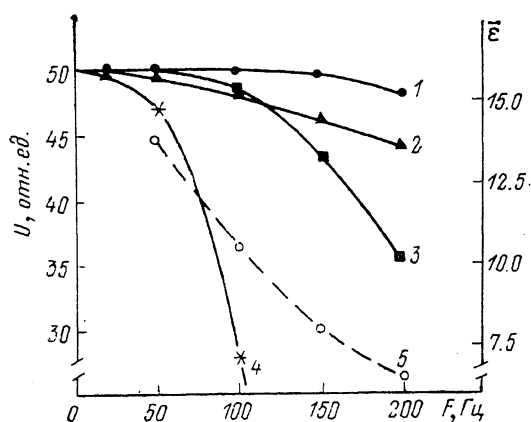


Рис. 6. Зависимость  $K$  (1),  $t_{\text{вкл}}$  (2) и  $t_{\text{выкл}}$  (3) от постоянного напряжения питания  $U$ .  $M=10^5$ , НЖК 60 вес. %, глицерина 10 вес. %.

ходить через всю толщину (30—50 мкм) жидкого кристалла, а для ДП НЖК ячеек этот путь значительно меньше (от капли к капле). При этом начальное пропускание ДП НЖК ячейки (как и ее контраст) почти не зависит от  $\lambda \geq 0.8$  мкм, поскольку потери проходящего луча, по нашему мнению, определяются прежде всего рассеянием на границе НЖК—полимер, а не его поглощением. Рост контраста  $K$  (почти на порядок) при уменьшении толщин пленок



с 45 до 25 мкм (рис. 3, кривые 1, 2) объясняется уменьшением количества рассеивающих микрокапель НЖК на пути считающего лазерного луча, что приводит к увеличению пропускания пленки в открытом состоянии и соответственно

Рис. 7. Зависимость синусоидального напряжения  $U$  (сплошные кривые) и диэлектрической постоянной  $\epsilon$  (штриховые) от частоты  $F$ .

1 — 1500 пФ, 2 — ДП НЖК, 3 — 3300 пФ, 4 — 10 000 пФ;  $d=25$  мкм, НЖК 60 вес. %, смазка — силиконовое масло,  $M=10^5$ , глицерина 10 вес. %.

контраста. Уменьшение молекулярной массы ПВС также увеличивает контраст, поскольку это связано с уменьшением ее сопротивления, что позволяет перераспределить напряжение питания в сторону его увеличения на микрокаплях (рис. 3, кривые 3, 4). Здесь имеет место качественное отличие от традиционных плоских ЖК ячеек, когда с ростом сопротивления одного из слоев сэндвича доля напряжения на других слоях падает. В случае ДП НЖК ячейки, как можно предположить, ток будет идти не по пути наименьшего расстояния между электродами, а по пути наименьшего сопротивления, т. е. от микрокапли и микрокапли НЖК, при этом доля напряжения на жидкокристаллическом кристалле возрастает. Следует отметить, что в работе были исследованы пленки с НЖК 1282, 1383 и 1289, которые различались значениями диэлектрической постоянной, констатации упругости и вязкости, но влияние всех этих различий весьма незначительно сказывалось на характеристиках ДП НЖК по сравнению с типом выбранного ПВС, в частности его молекулярной массы. Использование пластификатора позволяет снизить энергию сцепления молекул НЖК с оболочкой микрокапель, тем самым снизить порог срабатывания ДП НЖК с 90 до 5 В (рис. 3). Увеличение контраста при уменьшении концентрации НЖК в пленке (рис. 4) объясняется теми же причинами, что и при уменьшении толщин пленок.

Минимальные времена включения ячеек 0.4 мс были сравнимы с результатами, полученными в [5], в отличие от значительного (более чем на 2 порядка) увеличения времен выключения — 20 мс. Рассмотрим последнее отличие более подробно. Оценим экспоненциальную постоянную времени релаксации директора по формуле [11]

$$\tau_{\text{рел}}^T = \frac{\gamma d^2}{\pi^2 K_{\parallel}} = 8 \cdot 10^{-3} \text{ с}, \quad (1)$$

где типичные значения вязкости  $\gamma = 5 \cdot 10^{-2}$  кг·м<sup>-1</sup>·с<sup>-1</sup> и константы упругости  $K_{\parallel} = 10^{-11}$  Дж·м, средний размер капли  $d = 4 \cdot 10^{-6}$  м.

Полученные в экспериментах  $\tau_{\text{рел}}$  для пленок при импульсном питании составили от 7 до 12 мс соответственно для смачивающей жидкости на основе силиконового масла и жидкого кристалла. Из этого следует, что полученное в [5] быстродействие ДП НЖК ячеек на уровне  $10^{-4}$  с (при  $d \approx 4$  мкм) не отражает реальные рабочие значения времен выключения исследуемых образцов, поскольку там не учитывалась величина контраста, которому соответствуют эти времена. Аналогичное большое быстродействие ( $\sim 10^{-3}$ — $10^{-4}$  с) получено и в наших экспериментах (рис. 5, кривые 1, 2), но реальное рабочее время включения лежит на уровне  $\sim 10^{-2}$  с. Завал частотно-контрастной характеристи-

стики на высоких частотах синусоидального напряжения питания ( $\sim 10^4$  Гц) происходит из-за того, что имеет место шунтирование (исследуемыми образцами) блока питания по переменному току с ростом частоты. Подтверждениями этой гипотезы являются результаты дополнительных исследований зависимостей  $U=U(F)$  на образцах ячеек и наборе калиброванных емкостей, последовательно подключаемых к блоку питания (рис. 7, кривые 1—4). Из полученных кривых легко построить зависимость емкости  $d$  ячейки от  $F$ , а из нее — зависимость эффективной диэлектрической проницаемости  $\epsilon$  от  $F$  (кривая 5), поскольку

$$\epsilon = C \frac{d}{S\epsilon_0}, \quad (2)$$

где  $\epsilon_0 = 8.86 \cdot 10^{-12}$ ;  $d = 25 \cdot 10^{-6}$  м,  $S = 9 \cdot 10^{-4}$  м<sup>2</sup> соответственно толщина и площадь ячейки.

Полученная зависимость  $\epsilon$  от  $F$  в диапазоне  $F$  от 50 до 200 кГц имеет экспоненциальный вид

$$\epsilon = \epsilon_0 e^{-KF}, \quad (3)$$

где  $K = 5 \cdot 10^{-4}$  с,  $\epsilon_0 = 19.1$ .

Уменьшение  $\epsilon$  с ростом  $F$  отражает тот факт, что на ячейку начинает прикладываться меньшее напряжение и соответственно молекулы ЖК в каплях не могут развернуться полностью вдоль пс полюс. Более ранний завал ( $\sim 10^3$  Гц) при импульсном питании связан с ограниченными техническими возможностями генератора, поскольку длительность его импульсов  $10^{-3}$  с. Невысокие значения контраста ячеек, получаемые при смазке силиконовым маслом по сравнению с НЖК, объясняются меньшей в 5—7 раз диэлектрической постоянной ( $\epsilon = 2.2—2.7$ ) у масла, что приводит к увеличению сопротивления на переменном токе силиконового слоя и соответственно к уменьшению доли напряжения на ДП НЖК пленке.

Низкие пороги срабатывания пленок 15 В и высокая реверсивность до 0.1 кГц позволили собрать на их основе твердотельный модулятор типа ФОП—ДП—НЖК, характеристики которого такие:  $K = 35 : 1$ ,  $t_{\text{вкл.}} = 400$  мкс и реверсивность 10 Гц ставят его в один ряд с лучшими светоуправляемыми жидкокристаллическими модуляторами [11]. Более высокая (почти на порядок) реверсивность, полученная в ФОП—ДП—НЖК, по сравнению с  $Z_n S_e$ —ДП НЖК модулятором [7] объясняется, по нашему мнению, наличием на границе фоточувствительного и модулирующего слоев остатков растворителя и силиконового масла, что приводит к ускоренному рассасыванию накопленных зарядов.

Обращает внимание факт, что максимальный контраст у модулятора почти на порядок меньше, чем у ДП НЖК ячеек ( $\sim 400 : 1$ ). Это связано с тем, что к ПВМС нельзя прикладывать напряжение питания выше  $\sim 400$  В (иначе может произойти пробой модулятора), а при этом доля напряжения на пленке (при освещенном записывающим светом ПВМС) не превосходит десятков вольт.

## Заключение

1. Разработанные и исследованные ДП НЖК пленки обладают в совокупности временами включения  $\geqslant 0.4$  мс и выключения  $\geqslant 20$  мс, напряжением порогового срабатывания 5 В и выхода на максимум просветления 85 В, контрастом 400 : 1.

2. Показано, что определяющее влияние на характеристики электроуправляемых модуляторов оказывает молекулярная масса матрицы (поливиниловый спирт) и используемого для обеспечения оптического контакта ангидриента.

3. Созданы светоуправляемые твердотельные модуляторы на основе органический светочувствительный слой—ДП НЖК, которые имеют чувствительность  $5 \cdot 10^{-5}$  Дж/см<sup>2</sup>, контраст 35 : 1, время включения 400 мкс, время выключения 80 мс, реверсивность 10 Гц.

Разработанные модуляторы перспективны для использования их в оптико-электронных системах.

## Список литературы

- [1] Fergason J. L. // SID Digest Technical Papers. 1985. Vol. 16. P. 68—70.
- [2] Doane J. W., Vaz N. A., Wu B.-G., Zumer S. // Appl. Phys. Lett. 1986. Vol. 48. P. 269.
- [3] Drzaic P. S. // J. Appl. Phys. 1986. Vol. 60. N 6. P. 2142—2148.
- [4] Doane J. W., Golemme A., West J. L. et al. // Mol. Cryst. Liq. Gryst. 1988. Vol. 165. P. 511—532.
- [5] Гречко Л. Г., Марусин Т. Я., Резниченков Ю. А. и др. // УФЖ. 1987. Т. 32. № 8. С. 1213—1216.
- [6] Nuno A., Montgomery Var and G. Paul // J. Appl. Phys. 1987. Vol. 62. N 8. P. 3161—3172.
- [7] Афонин О. А., Назеанов В. Ф., Новиков А. В. // Письма в ЖТФ. 1988. Т. 14. Вып. 2. С. 129—133.
- [8] Мыльников В. С., Морозова Е. А., Василенко Н. А. и др. // ДАН СССР. 1985. Т. 218. № 4. С. 897—899.
- [9] Гроэнов М. А., Мыльников В. С., Сомс Л. Н., Тарасов А. А. // ЖТФ. 1987. Т. 57. Вып. 10. С. 2041—2042.
- [10] Данилов В. В., Савельев Д. А. // Сб. тр. ГОИ «Оптика жидкких кристаллов». Л. 1986. Т. 60. Вып. 194. С. 81—91.
- [11] Васильев А. А., Касасент Д., Компанец И. Н., Парфенов А. В. Пространственные модуляторы света. М.: Радио и связь, 1987. 320 с.

Ленинградский механический  
институт

Поступило в Редакцию  
13 июня 1989 г.  
В окончательной редакции  
29 ноября 1990 г.

---